

## (62) 埋設管異形管部の地震時ひずみ解析

川崎製鉄(株) 小池 武

### 1. まえがき

埋設管路は直管・曲管・分岐管・人孔・バルブ室など多種類の要素構造物が直列に連結する形で一つの管路系を構成している。したがって、最弱要素構造物を見極め、その地震時安全性を検討することが、埋設管路システムの耐震安全性を論じる上で基本的に重要な作業となる。従来の震害例によると、地変を伴わない地盤震動区域では直管部に比較して異形管部に被害が集中していることから、異形管部の地震時挙動に関するいくつかの研究報告がなされてきた。筆者もまた文献(4)において $90^\circ$ 曲管・T字管の地震時ひずみ算定式を提案してきた。

本研究は文献(4)において論じられなかつた任意の角度をもつ曲管についてその地震時ひずみ算定式を提案するものである。埋設管は弾性床上の梁としてモデル化し、曲管部のたわみ性、応力集中を評価するためにたわみ性解析を実施した。

### 2. 埋設管と周辺地盤間の相対変位

埋設管直管部に発生する軸方向地盤時ひずみ $\epsilon_S$ は、自然地盤のひずみ $\epsilon_G$ と変換係数 $\beta_S$ により次式で与えられる。

$$\epsilon_S = \beta_S \epsilon_G$$

..... (1)

上式は、埋設管と周辺地盤との間にすべりが発生しない条件下での関係式である。一方、地盤波入射振幅がかなり大きく、埋設管と周辺地盤の間にすべりが発生する場合、管ひずみは遮減する。その効果をパラメータ $\Delta$ を用いて表現するならば、管ひずみおよび相対変位(管・自然地盤間) $\Delta$ は次式で与えられる。

$$\epsilon_S = q_S \beta_S \epsilon_G$$

..... (2)

$$\Delta = (1 - q_S^* \beta_S) v_G$$

..... (3)

ここで、 $v_G$ はFig.1に示す $z$ 軸に沿う入射した地盤波の管軸( $z$ 軸)方向の変位振幅である。 $q_S$ ,  $q_S^*$ はそれぞれ管ひずみ、埋設管・地盤間の相対変位を求めるための遮減係数であり以下のように求められる。すなわち、Fig.2に示すように入力波が正弦波の場合、すべり限界せん断応力 $\tau_{cr}$ を超える地盤内せん断応力を管に伝達されるとすると、室内の方法に従つて最終的に次式を得る。

$$q_S = 1 - \frac{S(1+k^2) - \sin n_{cr}}{k \sinh(kn_{cr})}$$

..... (4)

$$q_S^* = \frac{(1+\frac{1}{k^2})}{k^2} \left\{ \sin n_{cr} - S \left[ 1 - \left( \frac{\pi^2}{8} + \frac{n_{cr}^2}{2} - \frac{\pi}{2} n_{cr} \right) k^2 \right] \right\}$$

..... (5)

$$z = z^*, \quad \kappa = \lambda^*/(\lambda^* \sin \phi), \quad \lambda^* = \sqrt{K_A/Ed \cdot 1/(1-(c_a/c_A)^2)}$$

$$S = \frac{1}{1+k^2} \frac{\kappa \cos n_{cr} \tanh(kn_{cr}) + \sin n_{cr}}{\kappa (\frac{\pi}{2} - n_{cr}) \tanh(kn_{cr})}$$

..... (6)

ただし、 $K_A$ : 入力波の波数、 $\phi$ : 入力波の埋設管に対する入射角、 $K_A$ : 埋設管と周辺地盤間の軸方向ペネ定数、 $E$ : ナンゲ率、 $d$ : 管厚、 $c_a$ : 入力波の管軸に沿う伝播速度、 $c_A$ : 管材の伝播速度、 $\tau_{cr}$ : すべり開始点を示すパラメータ。 $n_{cr}$ は次式を満足する値としてパラメトリックに決定される。

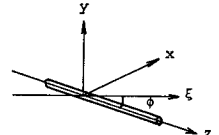


Fig.1

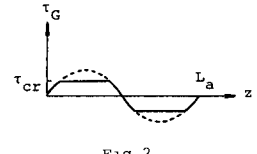


Fig.2

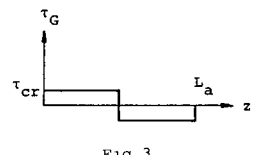


Fig.3

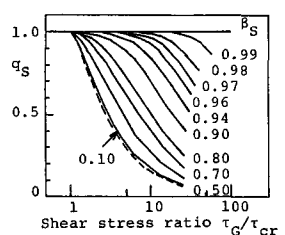


Fig.4

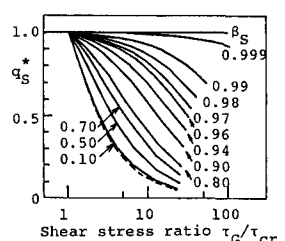


Fig.5

$$\tau_G/\tau_{cr} = (1 - q_S^* \beta_S)/S \quad \dots \dots \quad (7)$$

式(7)を用いると、 $\tau_G/\tau_{cr}$ と $\beta_S$ および $S$ の関係がFig.4, 5のように求められる。同図によると、 $\beta_S$ 、 $\beta_S^*$ 共に変換係数の関数<sup>2</sup>あり、 $\beta_S$ がより小さくなるに従い急速にある下限値曲線(破線)に収束する。ニ<sup>2</sup>下限値曲線は筆者が文献(4)に示した $\beta_S$ 、 $\beta_S^*$ の解析式に一致する。

地震波のランダム波形を上述のすべり問題で激密に考慮するには、複雑なシミュレーション手法が必要となるが、ここ<sup>2</sup>は簡便にランダム波の影響<sup>3</sup>を評価するためFig.3に示す矩形波について考察する。この波形は、埋設管が全面的にすべりする状況を模擬したもの<sup>4</sup>である。すなわち、限界せん断応力を大きく上回る入力波振幅が与えられた時に、入力波形が正弦波<sup>5</sup>であるランダム波<sup>6</sup>あることを問わず、限界せん断応力が管表面に作用する事に満足から、得られる管ひずみは波形に依らない最大管ひずみを与えることになる。ニ<sup>2</sup>以上のすべり遮減係数は次式で求められる。

$$q_R = \pi/2 \cdot (1 + k^2) S \quad \dots \dots \quad (8)$$

$$q_R^* = \pi^2/8 \cdot k^2 S / \beta_S \quad \dots \dots \quad (9)$$

### 3. 曲管部のひずみ解析

Fig.6は曲管部に入射角 $\psi$ で入射した場合<sup>7</sup>である。

入力振幅の方向が $x$ 軸方向に一致する入力波をR-タイプ<sup>8</sup>,

逆に、 $y$ 軸直角方向に一致する入力波をL-タイプ<sup>9</sup>と呼ぶ。

とともに、同図にはR-タイプ<sup>8</sup>、L-タイプ<sup>9</sup>それぞれの入力波が入射した場合の曲管部の変形状態が破線<sup>10</sup>で示されている。入力波による $y$ 軸方向の最大地動が $v_{max}$ <sup>11</sup>で与えられるとき、曲管部分枝①、②にはそれより $\Delta_1$ 、 $\Delta_2$ の大きさの相対変位が各管軸方向に発生する。1を<sup>12</sup>、2、分枝①方向の相対変位 $\Delta_R$ は結局次式<sup>13</sup>で与えられる。

$$\Delta_R(\phi) = |\Delta_1| - |\Delta_2| \cos \psi \quad -\psi \leq \phi \leq \pi - \psi \quad \dots \dots \quad (10)$$

ここで、R-type

$$\Delta_1 = \{\cos \phi - \beta_D(\phi)\} v_{max} \quad \Delta_1 = \{\sin \phi - \beta_D(\phi)\} v_{max} \quad \dots \dots \quad (11)$$

$$\Delta_2 = \{\cos(\pi - \psi - \phi) - \beta_D(\pi - \psi - \phi)\} v_{max} \quad \Delta_2 = \{\sin(\pi - \psi - \phi) - \beta_D(\pi - \psi - \phi)\} v_{max} \quad \dots \dots \quad (12)$$

ただし、 $\beta_D(\phi) = q_S^* \beta_S$

このとき、式(10)の相対変形はFig.7に示すように曲管部の分枝①方向の変形 $\Delta_F$ 、分枝①の伸び $\Delta_S$ 、分枝②の分枝①方向の曲げ変位 $\Delta_B$ によつて吸収される。すなわち、

$$\Delta_R(\phi) = \Delta_F + \Delta_S + \Delta_B \quad \dots \dots \quad (13)$$

水道・ガス用に一般的に用いられる管径・管厚比 $k$ パイ<sup>14</sup>製作された曲管<sup>15</sup>は、

Fig.8に示すように材端の曲げモーメントMに比例して管が偏平し応力集中が発生する。

その度合をためし係数 $\alpha$ 、応力集中係数 $\beta$ を用いて整理するとならば、次の関係を得る。

$$\Delta \psi / \psi = n M R / (E I) , \quad \sigma_B = i M / Z \quad \dots \dots \quad (14)$$

ここで、工・曲管の断面2次モーメント、Z: 曲管の断面係数、R: 曲率半径、

$\Delta \psi$ : 曲管の角度変化

さて、Fig.9に示すように曲管部材端のせん断力、曲げモーメントを仮定すると、節材端<sup>16</sup>の連続条件から次式を得る。

$$v_1(0) = 0, \quad v_2(0) = 0, \quad \theta_1(0) - \theta_2(0) = \theta_B, \quad M_1 = -M_2 + R S_1 \sin \psi + R S_2 (1 - \cos \psi) \quad \dots \dots \quad (15)$$

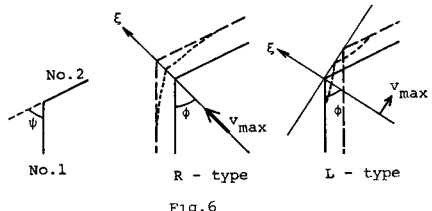


Fig.6

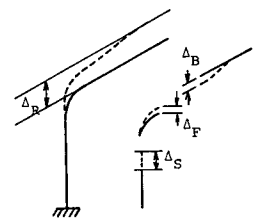


Fig.7

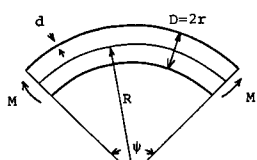


Fig.8

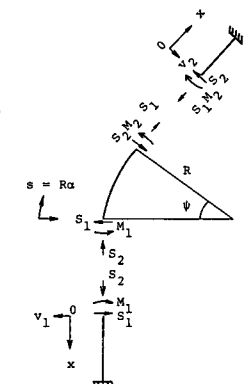


Fig.9

∴  $\theta_B$ ,  $\theta_B$ は曲管部のたわみ角 $\psi$ より次式 $\psi$ をえらべる。

$$\theta_B = \frac{nR^2}{EI} \left[ \frac{M_2}{R} + S_1 \left( \frac{1-\cos\psi}{\psi} - \sin\psi \right) + S_2 \left( \cos\psi - \frac{\sin\psi}{\psi} \right) \right] \quad \dots \dots \quad (16)$$

さらに、曲管部の分枝①方向のたわみ角 $\Delta_F$ は次式 $\psi$ をえらべる。

$$\begin{aligned} \Delta_F = & \frac{nR^3}{2EI} \left[ \frac{2M_2}{R} (\psi \cos\psi - \sin\psi) + 2S_1 \left\{ \cos\psi - \cos 2\psi - \frac{\psi}{2} \sin 2\psi + \left(1 + \frac{I}{nR^2 A}\right) \frac{\cos 2\psi - 1}{4} \right\} \right. \\ & \left. + 2S_2 \left\{ \psi \cos^2 \psi - \sin 2\psi + \left(1 + \frac{I}{nR^2 A}\right) \frac{2\psi + \sin 2\psi}{4} \right\} \right] \end{aligned} \quad \dots \dots \quad (17)$$

式(16), 式(17)を式(13)に代入し、さらに $\Delta_B$ を分枝①に沿う1/4波長に亘る一样伸縮 $\psi$ をえらべると、分枝②の分枝①方向の曲げ変形は次式 $\psi$ をめらべる。

$$\Delta_{B_1} = \frac{\Delta_R(\phi)}{\frac{L_{a_1} I \lambda^3}{1 + \frac{I}{2A}} \left| \frac{1 + C_2 + C_1 \cos\psi}{\sin\psi} \right| + C_3} \quad \dots \dots \quad (18)$$

∴  $\psi$ ,  $\lambda = \sqrt{R/(4EI)}$ ;  $R$ は理管周辺の地盤反力係数,  $A$ : 管断面積,  $L_{a_1}$ : 分枝①方向のみかけの波長。

$$C_1 = (C_{22}a_1 - C_{12}a_2)/(C_{11}C_{22} - C_{21}C_{12}), \quad C_2 = (C_{11}a_2 - C_{21}a_1)/(C_{11}C_{22} - C_{21}C_{12})$$

$$\begin{aligned} C_3 = & nR^3 \left[ \frac{2}{R} (\psi \cos\psi - \sin\psi) \lambda^2 C_2 - 2\lambda^3 C_1 \left\{ \cos\psi - \cos 2\psi - \frac{\psi}{2} \sin 2\psi + \left(1 + \frac{I}{nR^2 A}\right) \frac{\cos 2\psi - 1}{4} \right\} \right. \\ & \left. - 2\lambda^3 \frac{1 + C_2 + C_1 \cos\psi}{\sin\psi} \left\{ \psi \cos^2 \psi - \sin 2\psi + \left(1 + \frac{I}{nR^2 A}\right) \frac{2\psi + \sin 2\psi}{4} \right\} \right] \end{aligned} \quad \dots \dots \quad (19)$$

$$C_{11} = 1 + 2nR^2 \lambda^2 (1 - 2\cos\psi + \psi \cos 2\psi / \sin\psi), \quad C_{12} = -1 - 2nR^2 \lambda^2 (1 + \psi / (R\lambda) - \psi \cot\psi)$$

$$C_{21} = 1 + R\lambda (\cot\psi - \cos 2\psi / \sin\psi), \quad C_{22} = 1 + R\lambda (1 - \cos\psi) / \sin\psi$$

$$a_1 = -\sin\psi - 2nR^2 \lambda^2 (\psi \cos\psi - \sin\psi), \quad a_2 = -\lambda R (1 - \cos\psi)$$

$\Delta_{B_1}$ を用いると、せん断力、曲げモーメントは次式 $\psi$ がわられる。

$$M_1 = 2EI\lambda^2 C_1 \Delta_{B_1}, \quad M_2 = 2EI\lambda^2 C_2 \Delta_{B_1}, \quad S_1 = -2EI\lambda^3 C_1 \Delta_{B_1}, \quad S_2 = -2EI\lambda^3 (1 + C_2 + C_1 \cos\psi) \Delta_{B_1} / \sin\psi \quad \dots \dots \quad (20)$$

曲管内の任意点 $\alpha$ における曲げモーメント、せん断力

$$M(\phi, \alpha) = M_2 - S_1 R (\sin\psi - \sin\alpha) - S_2 R (\cos\alpha - \cos\psi) \quad \dots \dots \quad (21)$$

$$S(\phi, \alpha) = S_1 \sin\alpha - S_2 \cos\alpha \quad \dots \dots \quad (22)$$

より、分枝①方向の相対変位による曲管部ひずみは次式 $\psi$ をなす。

$$\varepsilon_{B_1}(\phi, \alpha) = i \frac{D}{2EI} |M(\phi, \alpha)| + \left| \frac{S(\phi, \alpha)}{AE} \right| \quad \dots \dots \quad (23)$$

分枝②方向の相対変位に対するも同様の解釈を行ふことにより、式(18), (23)に対応する式と1/2次式を得る。

$$\Delta_{B_2} = \frac{\Delta_R(\psi - \phi)}{\frac{L_{a_2}^* I \lambda^3}{1 + \frac{I}{2A}} \left| \frac{1 + C_2 + C_1 \cos\psi}{\sin(\psi - \phi)} \right| + C_3} \quad \dots \dots \quad (24)$$

$$\varepsilon_{B_2}(\phi, \alpha) = i \frac{D}{2EI} |M(\psi - \phi, \alpha)| + \left| \frac{S(\psi - \phi, \alpha)}{AE} \right| \quad \dots \dots \quad (25)$$

∴  $\psi$ ,  $L_{a_2}^* = L / \cos(\psi - \phi)$ ,  $L$ は入力波の波長。

1. たゞ $\psi$ と $\alpha$ の最終的な曲管部ひずみは、式(23)と(25)の和と1/2次式 $\psi$ より $\varepsilon_B(\phi, \alpha)$ をなす。

$$\varepsilon_B(\phi, \alpha) = \varepsilon_{B_1}(\phi, \alpha) + \varepsilon_{B_2}(\phi, \alpha) \quad \dots \dots \quad (26)$$

4. 1. 2. 曲管に対する変換係数 $\varepsilon_G$

$$\varepsilon_B(\phi, \alpha) = \varepsilon_B(\phi, \alpha) / \varepsilon_G \quad \dots \dots \quad (27)$$

となる。

#### 4. 數値計算例

數値計算は水道・ガスの導管として汎用される溶接鋼管を対象とした。使用鋼管の諸特性をTable 1に示す。

埋設地盤はTable 2に示す3種類の地盤を対象とし、埋設管表面での限界せん断応力 $\tau_{cr}$ は地盤強制と無関係に $\tau_{cr} = 0.1 \text{ kgf/cm}^2$ と仮定した。また、基礎入力加速度は $150 \text{ gal}$ とし、新耐震設計法の応答変位法に基準化された地盤ひずみを算定した。

Fig.10は入力波波長に対する直管・曲管のひずみの関係を検討したものである。同図によると、地盤ひずみと直管ひずみとの関係は長波長領域( $300\text{m}$ 以上)では正しい大きさとなるが、短波長領域( $300\text{m}$ 以下)ではすべりによる遮減効果のため直管ひずみは短波長に随分小さく傾向を示す。図中 $100\text{m} \sim 400\text{m}$ 区間に亘り、直管ひずみがある上下幅を持つ、 $\approx 3\%$ 、ニア上限部分は式(8), (9)に示す矩形波の場合の値を示す。 $\approx 1\%$ である。この図によると、直管ひずみに与えられたランダム波形の影響は限定的であり、むしろ波長の大小が与えられた影響が大きくなることを示唆している。同図中には、 $90^\circ$ ,  $67.5^\circ$ ,  $45^\circ$ ,  $22.5^\circ$ の曲管のひずみと波長の関係も示されている。曲管ひずみは、短波長領域で増加傾向を示し、 $67.5^\circ$ 曲管(Rタイプ入力波)は $100\text{m}$ 前後の波長で地盤ひずみ程度の大きさに達し、より高いひずみは最大0.2%に達する。

Fig.11は入射角 $\phi$ を種々に変化させた場合の各曲管の変換係数式(2)の値を算出したものである。入力波のタイプによりより傾向は大いに異なるが、両者ともに各曲管の最大値は入射角により移動し、 $90^\circ$ 曲管は必ずしも常に最大値を与えることがわかる。むしろ、 $67.5^\circ$ ,  $45^\circ$ 曲管の方が $90^\circ$ 曲管よりもより広い入射角の範囲で大きな変換係数の値を示す。

#### 5. あとがき

本研究は任意の曲り角度をもつ埋設曲管の地震時ひずみを算定する手法を提案したものである。数値計算結果より、曲管部の管内ひずみは隣接する直管のすべりによる相対変形が増加するに伴う弾性限界の0.2%ひずみを超える可能性のあることが判明した。一方、直管・曲管のひずみが地震に大きく依存しており、特に $300\text{m}$ 以下の短波長領域ではすべりの影響が著しく、これを上記の計算結果は示していない。より精確な管ひずみを算定するには実地盤の卓越波長に関するデータ集積・研究の進展が望まれる。

#### 参考文献

- 1) 横井他：電力研報告NO.72004, 昭和47年11月
- 2) SHAH, CHU : ASCE, p.53-62, 1974
- 3) SHINODA, KOICHI : ASME Publication, pp.31-48, 1979
- 4) 小池：土木学会論文報告集 NO.321, pp.13-24, 1983
- 5) NYMAN : US-JAPAN Workshop on Buried Pipelines, Tsukuba '84
- 6) 官内：相模原技術セミナー報告, NO.86, 1974
- 7) 建設省：新耐震設計法, 第1編, p.156, 1981

Table 1 パイプ諸元

諸元	
管径 D <sub>mm</sub>	600
管厚 d <sub>mm</sub>	6
曲率半径 R	1.5 × D
パイプファクター h	0.06
応力集中係数 i	9.38
たわみ係数 n	27.5

Table 2 地盤条件

地盤諸元	表層地盤		
	A種	B種	C種
単位体積重量 $\rho_0$ kgf/cm <sup>3</sup>	1.8 × 10 <sup>-3</sup>	1.8 × 10 <sup>-3</sup>	1.8 × 10 <sup>-3</sup>
卓越周期 T sec	1.0	0.5	0.2
限界せん断応力 $\tau_c$ kgf/cm <sup>2</sup>	0.1	0.1	0.1
地盤反力係数 k kgf/cm <sup>2</sup>	1.5 πD	1.5 π	1.5 πD

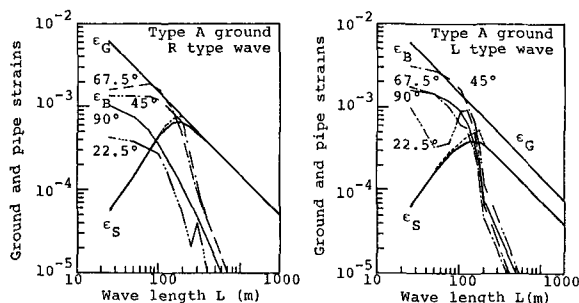


Fig.10

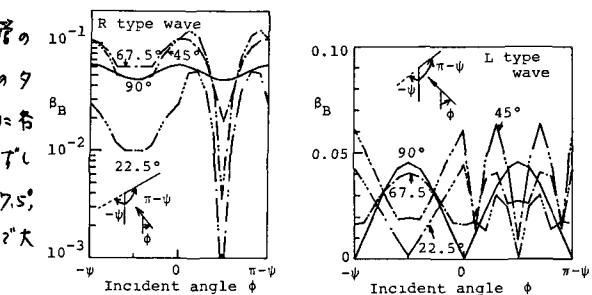


Fig.11